



## 第 5 章 频谱的线性搬移电路

---

- 5.1 非线性电路的分析方法
- 5.2 二极管电路
- 5.3 差分对电路
- 5.4 其它频谱线性搬移电路



## 概 述

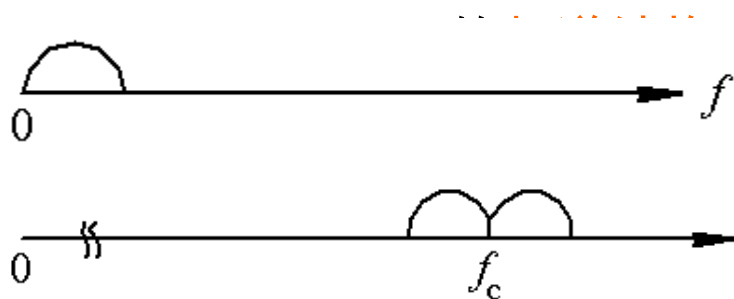
在通信系统中，**频谱的搬移电路**是最基本的单元电路。振幅调制与解调，频率调制与解调，相位调制与解调，混频等电路，都属于频谱搬移电路。

### 频谱搬移电路

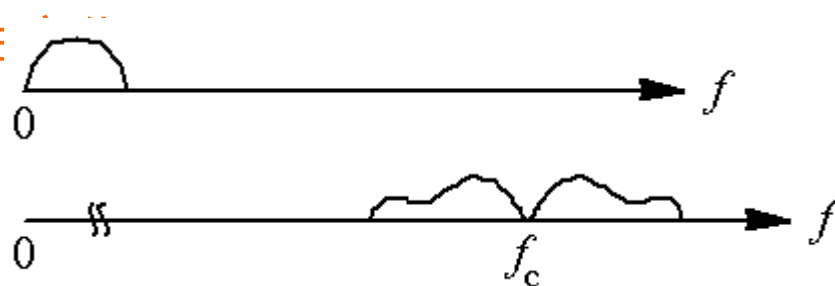
频谱的线性搬移——搬移过程中，输入信号的

频谱不发生变化

频谱的非线性搬移——搬移过程中，输入信号



频谱的线性搬移电路



频谱的非线性搬移电路



## 5.1 非线性电路分析方法

在频谱搬移电路中，输出信号的频率分量与输入信号的频率分量不尽相同，会产生新的频率分量。

因此频谱搬移必须用非线性电路来完成。

非线性电路的主要特点是它的参数随电路中的电流或电压变化。

### 一、非线性函数的级数展开分析法

非线性器件的伏安特性可表示为： $i = f(u)$

$u$  是加在非线性器件上的电压，一般： $u = E_Q + u_1 + u_2$

其中  $E_Q$  是静态工作点， $u_1$ ， $u_2$  为两个输入电压



## 5.1 非线性电路分析方法

### 一、非线性函数的级数展开分析法

$$i = f(u)$$

$$u = E_Q + u_1 + u_2$$

用泰勒级数展开有：

$$i = a_0 + a_1(u_1 + u_2) + a_2(u_1 + u_2)^2 + \text{?} + a_n(u_1 + u_2)^n + \text{?} \text{?} \text{?}$$

$$= \sum_{n=0}^{\infty} a_n(u_1 + u_2)^n$$

式中  $a_n$  (  $n=0,1,2,\dots$  ) 为各次方项的系数：

$$a_n = \frac{1}{n!} \left. \frac{d^n f(u)}{du^n} \right|_{u=E_Q} = \frac{1}{n!} f^n(E_Q)$$



# 5.1 非线性电路分析方法

## 一、非线性函数的级数展开分析法

$$i = \sum_{n=0}^{\infty} a_n (u_1 + u_2)^n \quad a_n = \frac{1}{n!} \left. \frac{d^n f(u)}{du^n} \right|_{u=E_Q} = \frac{1}{n!} f^n(E_Q)$$

由二项式：

$$(u_1 + u_2)^n = \sum_{m=0}^n C_n^m u_1^{n-m} u_2^m$$

$$C_n^m = \frac{n!}{m! (n-m)!}$$

→

$$i = \sum_{n=0}^{\infty} \sum_{m=0}^n a_n C_n^m u_1^{n-m} u_2^m$$



## 5.1 非线性电路分析方法

### 一、非线性函数的级数展开分析法

#### ① 一个信号的情况：

$$i = \sum_{n=0}^{\infty} a_n (u_1 + u_2)^n$$

$$\text{令 } u_2=0 ; \quad u_1 = U_1 \cos \omega_1 t$$

$$\text{则： } i = \sum_{n=0}^{\infty} a_n u_1^n = \sum_{n=0}^{\infty} a_n U_1^n \cos^n \omega_1 t$$

$$\text{利用三角公式：} \quad \cos^n x = \begin{cases} \frac{1}{2^n} [C_n^{n/2} + \sum_{k=0}^{\frac{n}{2}-1} C_n^k \cos(n-2k)x] & n \text{ 为偶数} \\ \frac{1}{2^{n-1}} \sum_{k=0}^{\frac{1}{2}(n-1)} C_n^k \cos(n-2k)x & n \text{ 为奇数} \end{cases}$$

$$\rightarrow i = \sum_{n=0}^{\infty} b_n U_1^n \cos n\omega_1 t \quad b_n \text{ 是 } a_n \text{ 与 } \cos^n \omega_1 t \text{ 的分解系数}$$



## 5.1 非线性电路分析方法

### 一、非线性函数的级数展开分析法

#### ① 一个信号的情况：

$$i = \sum_{n=0}^{\infty} b_n U_1^n \cos n\omega_1 t$$

结论：在非线性器件的输入端加一单频信号时，通过非线性器件的非线性作用，输出端除了有输入信号的频率外，还有输入信号的各次谐波分量，即产生了新的频率成分



## 5.1 非线性电路分析方法

### 一、非线性函数的级数展开分析法

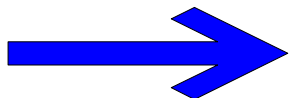
#### ② 两个信号的情况：

$$i = \sum_{n=0}^{\infty} \sum_{m=0}^n a_n C_n^m u_1^{n-m} u_2^m$$

令：  $u_1 = U_1 \cos(\omega_1 t)$ ;  $u_2 = U_2 \cos(\omega_2 t)$

利用：  $\cos x \cos y = \frac{1}{2} \cos(x - y) + \frac{1}{2} \cos(x + y)$

$$\cos^n x = \begin{cases} \frac{1}{2^n} [C_n^{n/2} + \sum_{k=0}^{\frac{n}{2}-1} C_n^k \cos(n-2k)x] & n \text{ 为偶数} \\ \frac{1}{2^{n-1}} \sum_{k=0}^{\frac{1}{2}(n-1)} C_n^k \cos(n-2k)x & n \text{ 为奇数} \end{cases}$$



$$i = \sum_{p=-\infty}^{\infty} \sum_{q=-\infty}^{\infty} C_{nm} \cos(p\omega_1 \pm q\omega_2)$$





## 5.1 非线性电路分析方法

### 一、非线性函数的级数展开分析法

#### ② 两个信号的情况：

$$i = \sum_{p=-\infty}^{\infty} \sum_{q=-\infty}^{\infty} C_{nm} \cos(p\omega_1 \pm q\omega_2)$$

$i$  中的频率分量有无限多个： $\omega_{p,q} = |\pm p\omega_1 \pm q\omega_2|$

$p, q = 0, 1, 2, \dots$   $p+q$  称为组合分量的阶数

- 产生组合分量阶数的规律：
- 凡是  $p+q$  为偶数的组合分量，均由幂级数中  $n$  为偶数，且大于等于  $p+q$  的各项产生。
  - 凡是  $p+q$  为奇数的组合分量，均由幂级数中  $n$  为奇数，且大于等于  $p+q$  的各项产生。
  - 组合分量的强度随  $p+q$  的增大而减小。



由三角公式可知： $u_1^{n-m} \rightarrow$  最大频率分量为  $(n-m)\omega_1$ ，  
且奇偶性与  $(n-m)\omega_1$  相同

$u_2^m \rightarrow$  最大频率分量为  $m\omega_2$ ，  
且奇偶性与  $m\omega_2$  相同

组合分量  $p+q \left\{ \begin{array}{l} p\omega_1 \rightarrow (n-m) \square p \\ q\omega_2 \rightarrow m \square q \end{array} \right\} \rightarrow n \square p+q$

当  $p+q$  为偶数时，假设  $p$ ， $q$  都为偶（奇），则

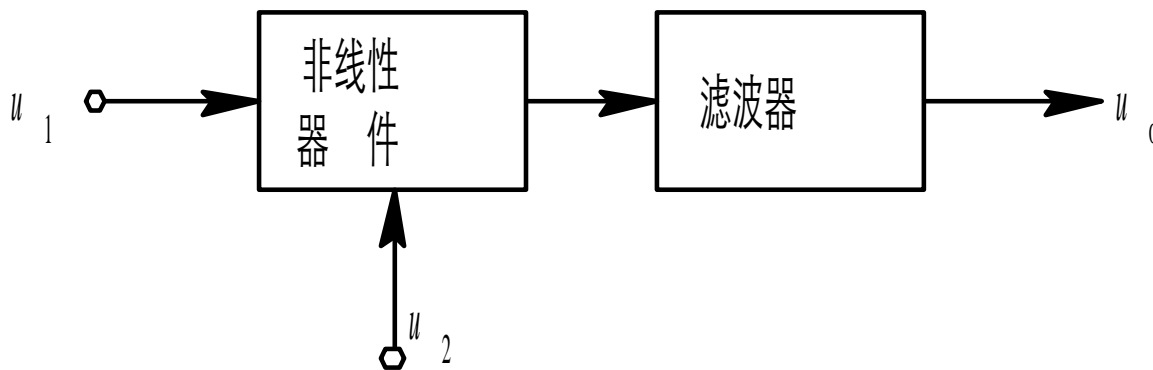
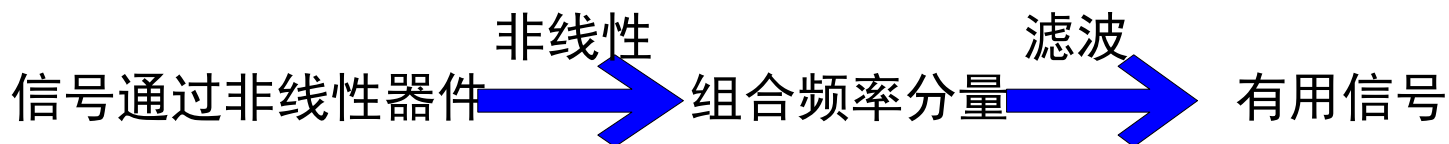
$p+q$  为偶数  $\left\{ \begin{array}{l} p \text{ 为偶 (奇)} \rightarrow n-m \text{ 为偶 (奇)} \\ q \text{ 为偶 (奇)} \rightarrow m \text{ 为偶 (奇)} \end{array} \right\} n \text{ 位偶数}$



## 5.1 非线性电路分析方法

### 一、非线性函数的级数展开分析法

#### ③ 频谱线性搬移电路的实现



一般的线性搬移电路，核心总是两个信号的乘积项，由二次方项产生

在实际中，关键任务是如何实现接近理想的乘法器，减少无用组合频率分量的数目和强度。



## 5.1 非线性电路分析方法

### 一、非线性函数的级数展开分析法

#### ③ 频谱线性搬移电路的实现

如何实现接近理想的乘法器，减少无用组合频率分量的数目和强度？

- 方法：
- 从器件考虑——平方律器件
  - 从电路考虑——抵消无用组合分量
  - 从输入信号考虑——降低组合分量的强度



## 5.1 非线性电路分析方法

### 二、线性时变电路分析方法

对  $i = f(u)$

在  $E_Q + u_2$  上对  $u_1$  用泰勒级数展开, 有

$$i = f(E_Q + u_1 + u_2)$$

$$= f(E_Q + u_2) + f'(E_Q + u_2)u_1 + \frac{1}{2!} f''(E_Q + u_2)u_1^2 + \diamond$$

$$+ \frac{1}{n!} f^{(n)}(E_Q + u_2)u_1^n + \diamond$$

$$f(E_Q + u_2) = \sum_{n=0}^{\infty} a_n u_2^n \quad f'(E_Q + u_2) = \sum_{n=1}^{\infty} n a_n u_2^{n-1}$$

$$f''(E_Q + u_2) = 2! \sum_{n=2}^{\infty} C_n^{m-2} a_n u_2^{n-2} \quad \bullet \bullet \bullet$$

$$\text{参见 5-6 : } i = f(E_Q + u_2) = \sum_{n=0}^{\infty} a_n u_2^n$$



## 5.1 非线性电路分析方法

### 二、线性时变电路分析方法

$$i = f(E_Q + u_2) + f'(E_Q + u_2)u_1 + \frac{1}{2!}f''(E_Q + u_2)u_1^2 + \cdots \\ + \frac{1}{n!}f^{(n)}(E_Q + u_2)u_1^n + \cdots$$

若  $u_1$  足够小，可以忽略式中  $u_1$  的二次方及其以上各次方项，则该式化简为

$$i \approx f(E_Q + u_2) + f'(E_Q + u_2)u_1$$

$f(E_Q + u_2)$  和  $f'(E_Q + u_2)$  是与  $u_1$  无关的系数，但是他们随  $u_2$  变化，即随时间变化，故称为**时变系数**，或**时变参量**



## 5.1 非线性电路分析方法

### 二、线性时变电路分析方法

$$i \approx f(E_Q + u_2) + f'(E_Q + u_2)u_1$$

$f(E_Q + u_2)$  是当输入信号  $u_1=0$  时的电流，称为**时变静态电流**，或**时变工作点电流**（ $I_0(t)$ ）

$$I_0(t) = f(E_Q + u_2)$$

$f'(E_Q + u_2)$  是增量电导在  $u_1=0$  时的数值，称为**时变增益**或**时变跨导**

$$g(t) = f'(E_Q + u_2)$$

$$E_Q(t) = E_Q + u_2 \quad \text{—— 时变偏置电压}$$

$$\rightarrow i = I_0(t) + g(t)u_1$$

$i$  与  $u_1$  呈线性关系，而系数是时变的  
即  $i$  与  $u_1$  呈**线性时变**关系



## 5.1 非线性电路分析方法

### 二、线性时变电路分析方法

$$i = I_0(t) + g(t)u_1$$

如果  $u_1 = U_1 \cos \omega_1 t$ ,  $u_2 = U_2 \cos \omega_2 t$ , 则时变电压  $E_Q(t) = E_Q + u_2$  一周期性函数, 故

$$\begin{aligned} I_0(t) &= f(E_Q + u_2) \\ g(t) &= f'(E_Q + u_2) \end{aligned} \quad \text{—— 周期性函数}$$

付立叶级数展开:

$$I_0(t) = f(E_Q + U_2 \cos \omega_2 t) = I_{00} + I_{01} \cos \omega_2 t + I_{02} \cos 2\omega_2 t + \blacklozenge \blacklozenge \blacklozenge$$

$$g(t) = f'(E_Q + U_2 \cos \omega_2 t) = g_0 + g_1 \cos \omega_2 t + g_2 \cos 2\omega_2 t + \blacklozenge$$





## 5.1 非线性电路分析方法

### 二、线性时变电路分析方法

$$i = I_0(t) + g(t)u_1$$

$$I_0(t) = f(E_Q + U_2 \cos \omega_2 t) = I_{00} + I_{01} \cos \omega_2 t + I_{02} \cos 2\omega_2 t + \text{???}$$

$$g(t) = f'(E_Q + U_2 \cos \omega_2 t) = g_0 + g_1 \cos \omega_2 t + g_2 \cos 2\omega_2 t + \text{?}$$

$$I_{00} = \frac{1}{2\pi} \int_{-\pi}^{\pi} f(E_Q + U_2 \cos \omega_2 t) d\omega_2 t$$

$$I_{0k} = \frac{1}{\pi} \int_{-\pi}^{\pi} f(E_Q + U_2 \cos \omega_2 t) \cos k\omega_2 t d\omega_2 t \quad k = 1, 2, 3, \text{?}$$

$$g_0 = \frac{1}{2\pi} \int_{-\pi}^{\pi} f'(E_Q + U_2 \cos \omega_2 t) d\omega_2 t$$

$$g_k = \frac{1}{\pi} \int_{-\pi}^{\pi} f'(E_Q + U_2 \cos \omega_2 t) \cos k\omega_2 t d\omega_2 t \quad k = 1, 2, 3, \text{???}$$



## 5.1 非线性电路分析方法

### 二、线性时变电路分析方法

$$i = I_0(t) + g(t)u_1$$

$$I_0(t) = f(E_Q + U_2 \cos \omega_2 t) = I_{00} + I_{01} \cos \omega_2 t + I_{02} \cos 2\omega_2 t + \text{? ? ?}$$

$$g(t) = f'(E_Q + U_2 \cos \omega_2 t) = g_0 + g_1 \cos \omega_2 t + g_2 \cos 2\omega_2 t + \text{?}$$

$i$  中的组合分量为:  $q\omega_2$  ;  $|q\omega_2 \pm \omega_1|$

与非线性函数展开法相比, 组合分量大大减少

$$|\pm q\omega_2 \pm p\omega_1|$$

注意: 二者的实质是一致的, 实际的组合分量完全相同, 不同的只是其幅度小, 被忽略之故, 这在工程中完全合理。

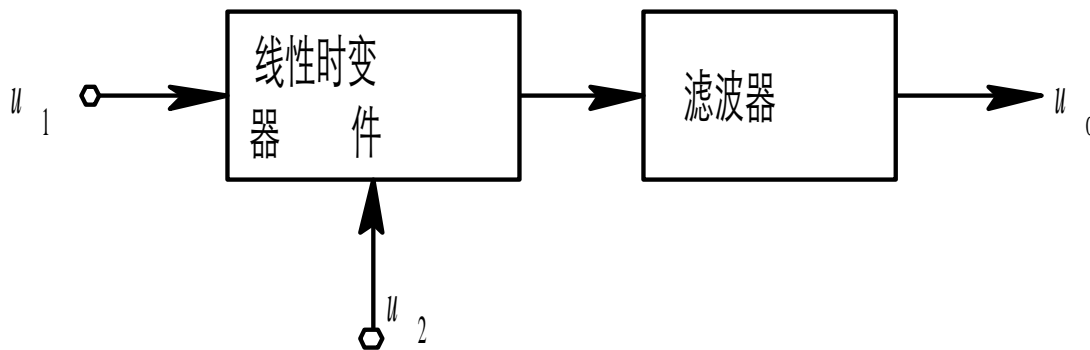


# 5.1 非线性电路分析方法

## 二、线性时变电路分析方法

线性时变电路虽然大大减少了组合频率分量的数目，但仍存在大量的不需要的频率分量。用于频谱的搬移电路时，仍需要用滤波器选出所需的频率分量，滤出不必要的频率分量。

线性时变电路并非线性电路，其本质还是非线性电路，是非线性电路在一定条件下的近似结果。





例 1 一个晶体二极管，用指数函数逼近它的伏安特性，即

$$i = I_e \left( e^{\frac{u}{V_T}} - 1 \right) \approx I_s e^{\frac{u}{V_T}} \quad (5-21)$$

在线性时变工作状态下，上式可表示为

$$i = I_0(t) + g(t)u_1 \quad (5-22)$$

式中

$$I_0(t) = I_s e^{\frac{E_Q + u_2}{V_T}} = I_Q e^{x_2 \cos \omega_2 t} \quad (5-23)$$

$$g(t) = \left. \frac{di}{du} \right|_{u=E_Q+u_2} = \frac{I_s}{V_T} e^{\frac{E_Q+u_2}{V_T}} = g_Q e^{x_2 \cos \omega_2 t} \quad (5-24)$$



$$e^{x_2 \cos \omega_2 t} = \varphi_0(x_2) + 2 \sum_{n=1}^{\infty} \varphi_n(x_2) \cos n\omega_2 t \quad (5-26)$$

$$\varphi_n(x_2) = \frac{1}{2\pi} \int_{-\pi}^{\pi} e^{x_2 \cos \omega_2 t} \cos n\omega_2 t d\omega_2 t$$

是第一类修正贝塞尔函数。因而

$$\begin{aligned} I_0(t) &= I_Q[\varphi_0(x_2) + 2 \sum_{n=1}^{\infty} \varphi_n(x_2) \cos n\omega_2 t] \\ g(t) &= g_Q[\varphi_0(x_2) + 2 \sum_{n=1}^{\infty} \varphi_n(x_2) \cos n\omega_2 t] \end{aligned} \quad (5-27)$$